

京都大学工学部 正員

京都大学工学部 正員

高棹琢馬 京都大学工学部 正員 椎葉充晴

○ 立川康人 日本航空

柄原聖二

1はじめに 合成開口レーダ(SAR)は天候・時間帯に影響されずにデータを取得できることや、光学センサでは得ることのできない物理量の定量的測定ができる可能性があることから、非常に期待されているセンサである。しかし、SARはデータの解釈が難しく、その利用技術はまだ確立されてはいない。よって、SARデータをいかに解釈し、どのように利用していくかを探ることが重要な課題となっている。

そこで、地表面の被覆ごとにJERS-1およびERS-1のSARデータがどのような特性を持っているのか調査した。そして、その結果より、風速のプロファイルから決定される地表面粗度をSARデータを用いて推定することの可能性を検討した。

2後方散乱係数 合成開口レーダ(SAR)とはマイクロ波を地球上に照射し、地表面で散乱してレーダーの方向に戻ってくる電波を受信することにより、地表面の特性を観測する能動型センサであり、後方散乱係数 σ^0 (レーダーの電波が地表面で入射方向に散乱する度合を表す量)の空間的分布情報を高分解能でかつ天候・昼夜に左右されずに得ることができる。

σ^0 に影響を与える主要な物理的性質としては、表面の粗さ、誘電率、導電率、内部の不均一性、表面の平均的な傾きなどがある。一般的には、表面の粗さと誘電率の影響が比較的大きいようである。また、 σ^0 は波長や入射角によっても変わる。

SARではマイクロ波を斜めに照射するため、表面粗さの影響を大きく受けける。しかも表面粗さは波長に相対的なものであり、波長が短いほど表面の粗さに敏感になる。一方、誘電率は、水の量によって大きさが変わるために、誘電率を介して土壤水分を測れるのではないかと期待されている。

3使用したSARデータ 本研究で使用したSARデータは、JERS-1 SAR (Japanese Earth Resources Satellite 1 Synthetic Aperture Radar)とERS-1 AMI (European Remote Sensing Satellite 1 Active Microwave In-

表1 本研究で使用したSARの諸元

	JERS-1 SAR	ERS-1 AMI
波長	23.5cm (Lバンド)	5.7cm (Cバンド)
周波数	1.275GHz	5.3GHz
Off-nadir 角	35°	23°
偏波	HH	VV
データ	1992.10.19,20	1992.12.03
取得日		1993.03.18

strument)による2種類のセンサのデータである。両者の諸元を表1に記す。

4 SARデータの特性の調査手法 本研究で対象とした地域は、いずれも名古屋市周辺の地域である。

SARデータの特性を調べるために、JERS-1 1シーンとERS-1 2シーンの合計3シーンのSAR画像から、土地被覆ごとにまとまった面積を持つ領域を抜き出して、そこでのCCT値と後方散乱係数 σ^0 の分布を調べた。

抜き出した領域は、水田19ヶ所、池5ヶ所、裸地3ヶ所、森林域5ヶ所、市街地9ヶ所、河川流水域6ヶ所、河川周辺の草地8ヶ所、河原の裸地(石や砂利)6ヶ所である。なお、CCT値から後方散乱係数 σ^0 への変換は宇宙開発事業団から報告されている以下の式[1],[2]

$$\sigma^0 = 20 \log_{10}(\text{CCT}) + CF \quad [\text{dB}] \quad (1)$$

を用いた。ただしCFは、JERS-1で-70.0、ERS-1で-65.3である。

5 SARデータの特性の調査結果 図1、図2は、それぞれJERS-1 SAR、ERS-1 AMIデータから抜き出した各土地被覆の σ^0 の平均値と標準偏差をプロットした図である。

この図から、JERS-1の σ^0 の平均値は、水域(川と池)・裸地・水田・草地や河原・森林・市街地の順に大きくなること、ERS-1の σ^0 の平均値は、川・池・裸地・森林・草地・水田・河原・市街地の順に大きくなることがわかる。

以上より、SARデータも土地被覆ごとにある程度の傾向を持つといえる。後方散乱に影響を及ぼす主

重要な物理的性質のうち、最もこのような傾向を説明できるものは表面の粗さであると考えられる。このようにあらゆる地表面を対象とした場合は、まず地表面の粗さをもとにSARデータを理解するのが妥当だろう。JERS-1とERS-1の結果に違った特徴があるのも、ERS-1の方が波長が短いために、ERS-1は表面の粗さに敏感であること、植生域ではJERS-1ほどマイクロ波が透過しないことによってだいたい説明できる。

6 SARデータを用いた地表面粗度の推定

土地被覆ごとの σ^0 の特徴を調べた結果、 σ^0 は表面の粗さを反映していることがわかったので、SARデータによって地表面粗度を推定することを試みた。ここでいう地表面粗度とはすべて風速に対する粗度のことである。

図3、図4は、それぞれ横軸にJERS-1とERS-1の σ^0 の土地被覆ごとの平均値、縦軸に土地被覆ごとに幅を持って与えられた粗度の値をプロットしたものである。これらの図より、SARデータと粗度には何らかの関係にあることがわかる。あらゆる地表面を対象とする場合にはJERS-1の方が粗度を推定しやすいようである。本研究では、多くの標本点について良好な結果を示したJERS-1のSARデータを用いて、市街地を除いた場合と含めた場合の2通りの回帰式を求めて地表面粗度を推定した。

7 まとめ JERS-1、ERS-1とも土地被覆ごとにまとまった傾向を示した。この理由は、 σ^0 が表面の粗さに大きく依存するためであり、JERS-1とERS-1に違った特徴があるのは、両者の波長の長さが違うことが大きな原因である。また、SARデータは地表面粗度とも関係があり、SARデータによって地表面粗度を推定できる可能性があることがわかった。

参考文献

- [1] NASDA EOC : User's Guide to NASDA's SAR products, HE-930014, 1993.
- [2] Shimada, M. : Image Quality of the SAR and OPS, JERS-1 Information Exchange Meeting Presentation Materials, pp. 90-132, 1993.

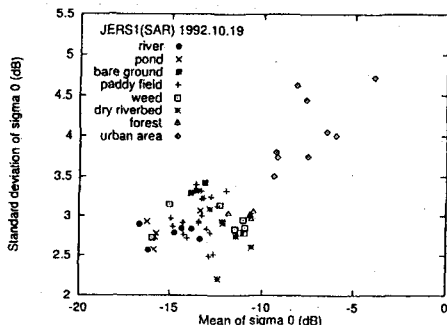


図1 JERS-1 の平均値と標準偏差

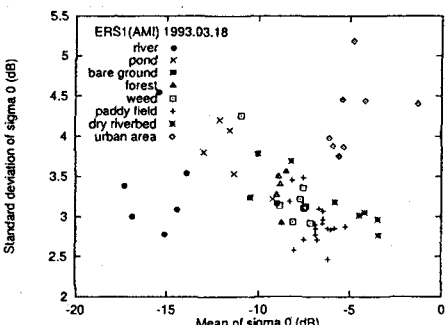


図2 ERS-1 の平均値と標準偏差

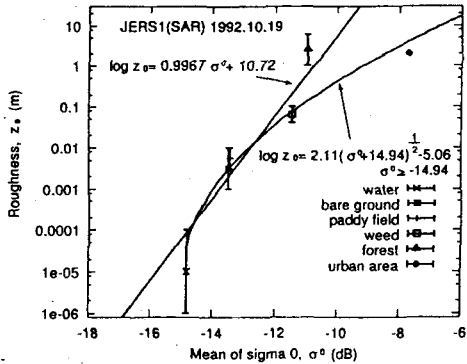


図3 JERS-1 の σ^0 と粗度の関係

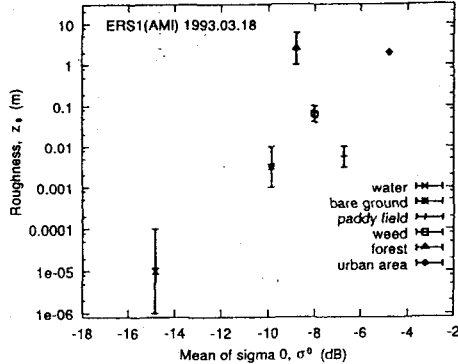


図4 ERS-1 の σ^0 と粗度の関係